

# 石運船から投入された捨石粒子群の 堆積形状に関する基礎的研究

小田一紀\*. 角谷 広樹\*\*. 岩田 潔\*\*\*

## 1. まえがき

混成防波堤の基礎マウンドは底開式バージから碎石を投入した後、潜水作業等によって所定の断面形に整形して造られるが、水深の増大とともに碎石の散らばり幅も拡があるので、設計どおりのマウンドを造るにはその堆積形状をできる限り正確に予測し、合理的な投入計画を立てる必要がある。

水中に投入された粒子の沈降挙動や散乱分布については比較的の数多く研究が行われておる、Alger ら<sup>1)</sup>、高橋ら<sup>2)</sup>および小田ら<sup>3), 4)</sup>などの単一粒子の沈降速度に関する研究、また簡便<sup>5), 6)</sup>、吉川ら<sup>7)</sup>、林ら<sup>8)</sup>、河野ら<sup>9)</sup>および昨年の海講で発表された矢内ら<sup>10)</sup>の単一粒子あるいは多数の粒子の散乱分布に関する基礎的研究がある。

一方、本研究が取扱うような底開式バージから投入された粒子群の散乱に関しては堀口らの差分法およびMAC法による一連の理論的研究<sup>11), 12)</sup>、具体的なバージ模型を用いて、主として堆積形状の解明に取組んだ小川ら<sup>13)</sup>、桑野ら<sup>14)</sup>、武藤ら<sup>15)</sup>の研究がある。しかし、これらは何れもそれ自身の沈降によって誘起される流れがその拡散挙動に大きな影響を及ぼすような微細な土砂粒子群を対象としており、本研究が取扱うような粒子そのもののもつ慣性力が卓越する大粒径の碎石粒子群を対象としていない。そのような研究としては古野ら<sup>16)</sup>、安濃<sup>17)</sup>および奥出ら<sup>18)</sup>の実験的なものがあるのみで理論的な取組みをしたものは未だ見当らない。本論文では近似的な拡散モデルを適用して、底開式バージから静水中に投入された碎石粒子群の堆積形状を予測する実用的な計算式を提案する。

## 2. 拡散モデル

一般に、拡散は流体の分子運動や乱流運動によって流体中の物質が拡がる現象を指すが、水中を沈降する碎石粒子群の散乱は、粒子群そのものを流れと見なし、その

流れの中での粒子同志の衝突および粒子と流体との相互作用によって粒子が3次元空間に確率論的に拡がる、一種の拡散現象と見ることができる。本研究では、碎石粒子群の堆積形状を予測する実用的な解析法を提案することを目的として思い切った理論の簡単化を図り、次のような拡散モデルの適用を試みる。

すなわち、水面から投入された粒子群はその平均的な沈降速度で下降する仮想水平面（以後、拡散平面と呼ぶ）上を2次元的に拡がり、鉛直方向には拡がらないと仮定する。このモデルは実際の現象には忠実ではないが、本研究の目的が沈降途中における粒子の空間的濃度分布の予測ではなく、水底に達したときの堆積形状の予測にあるので、3次元的に散乱している粒子を、最初から鉛直方向にのみ、一つの水平面上に累積して取扱うものである。

## 2.1 拡散方程式とその解

### (1) 面源からの瞬間投入

前述の拡散平面に、 i) 物質の移動は濃度の高い方から低い方へ生じる、 ii) 単位時間に単位面積を通過する物質量は移動する方向の濃度勾配に比例する、という仮定に基づく Fick の拡散理論を適用し、各座標軸方向の拡散係数はそれぞれの軸方向で一定と仮定すると、周知のように、拡散方程式は式 (1) のように表わされる。

$$\frac{\partial C}{\partial t} = K_x \frac{\partial^2 C}{\partial x^2} + K_y \frac{\partial^2 C}{\partial y^2} \dots \dots \dots (1)$$

ここに,  $t$ : 時間,  $x, y$ : バージの中心に原点を一致させ, 船幅および船長方向にとった平面座標,  $K_x, K_y$ : 各座標軸方向の粒子群の拡散係数.  $C$  は碎石粒子濃度を表わすが, 前述の拡散モデルに従って, ここでは濃度として水平単位面積当たりの碎石粒子群の見掛けの体積(間隙を含む自然堆積状態における粒子群の体積)をとる. このようにとると,  $C$  は水底上では粒子群の堆積高さを表わすことになる.

バージ底開口部からの碎石投入を想定して、まず図-1に示すように、幅  $b$ 、長さ  $l$  の矩形面源からの瞬間投入の場合について式(1)の解を導く。

初期条件は

\* 正会員 工博 大阪市立大学教授 工学部土木工学科

\*\* 正会員 丁修 大阪市港湾局計画課

\*\*\* 正会員 東洋建設株式会社 鳴尾技術センター



### 3. 実験による拡散モデルの適用性の検討

#### 3.1 実験装置と方法

石運船の模型は、図-3に示すような、 $1000\text{m}^3$ 型底開式バージの、縮尺1/60のものを、真鍮で製作した。

模型船の空荷時の重量は Froude 則に従って実物の重量にほぼ一致させた。底扉の開放の仕方は、実船ではシリンドラー内の油圧力を解除して、碎石の自重と底扉の浮力の釣合いで開くようになっているが、模型では底扉を油圧シリンダーで引上げる代わりに、細いワイヤー線で引張り、この上端を引っかけてあるデッキ上の支持棒を瞬間に折り曲げることによってワイヤー線の張力を解除して、実船の油圧解除に代えた。

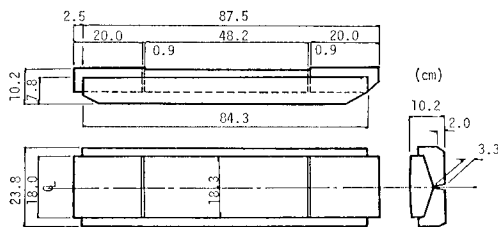


図-3 石運船模型の形状と寸法

実験に用いた水槽は、長さ 1.5m、幅 1.5m、深さ 1.2m のガラス張り銅製水槽である。水槽の上端には粒子の堆積形状を測定するための移動式多点目盛棒を設置した。

碎石粒子は、図-4(a) に示すような重量分布を有する A 粒子群と同図 (b) のような B 粒子群の 2 種類を用いた。A 粒子群の見掛けの単位重量は  $1.443 \text{ gf/cm}^3$  ( $1.414 \times 10^{-2} \text{ N/cm}^3$ )、1 個の平均重量は  $0.88 \text{ gf}$  ( $8.6 \times 10^{-3} \text{ N}$ )、B 粒子群はそれぞれ、 $1.438 \text{ gf/cm}^3$  ( $1.409 \times 10^{-2} \text{ N/cm}^3$ ) および  $0.69 \text{ gf}$  ( $68 \times 10^{-3} \text{ N}$ ) である。また、粒子形状は、粒子の外接直方体の 3 辺の長さを大きい順に  $a, b, c$  と表わすとき、それぞれの粒子群の  $b/a, c/b$  の平均値および方形係数  $C_b = V/abc$  ( $V$ : 粒子群体積) の平均値が表-1 に示すような値をもつものである。表-1 からわかるように、A 粒子群と B 粒子群の形状には大きな差はないが、A 粒子群の方がやや角ばっている。

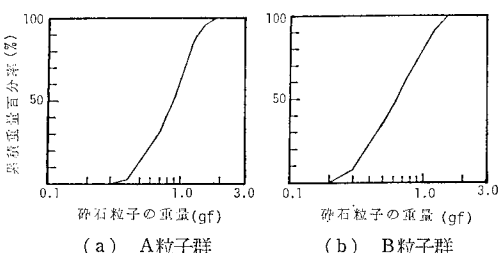


図-4 実験に用いた碎石粒子群の重量分布(累積重量百分率)

表-1 実験に用いた碎石粒子の形状特性

粒子群の種類	$(b/a)_{\text{mean}}$	$(c/b)_{\text{mean}}$	$(C_b)_{\text{mean}}$
A	0.73	0.71	0.41
B	0.75	0.75	0.40

また、実験の種類と投入条件は表-2 に示すごとくである。

表-2 実験の種類と投入条件

CASE	粒子群	水深 $h$ (cm)	1回の投 入重量 $W$ (gf)	1回の投 入体積 $V$ (cm $^3$ )	開扉幅 $b$ (cm)	平均投 入時間 $\tau_0$ (sec)	投 入 数
A	B	100	6 660	4 630	2.3	7.7	5
B	A	"	6 680	"	2.6	6.4	"
C	B	"	6 660	"	"	5.7	"
D	"	"	7 500	5 215	"	6.2	"
E	"	"	"	"	2.3	8.5	4
F	"	"	6 660	4 630	3.0	4.0	5
G	"	70	"	"	2.6	5.9	3

#### 3.2 実験結果と計算結果の比較

各実験ケースにおける第 1 投目と第 2 投目の堆積高さ分布について、式 (7) と式 (14) から得られる計算値が測定値に最もよく一致するような未知数  $K \cdot T$  (粒子群の拡散係数と平均落下時間の積) を最小自乗法で求めると表-3 のごとくである。表-3 表において、投入速度  $c_0$  は

$$c_0 = \frac{V}{bl\tau_0} \quad \dots \dots \dots (15)$$

から求めた。ここに、 $V$ : 1 回の投入体積、 $\tau_0$ : 投入時間。

第 1 投目と第 3 投目の堆積高さ分布について、表-3 の  $K \cdot T$  値を用いて得られた計算値と実験値を比較して示すと図-5 (a), (b) および (c) のごとくである。

表-3 堆積高さの実験値と計算値の比較から得られた最適  $K \cdot T$  値

CASE	粒子群	投入速度 $c_0$ (cm $^3$ /cm $^2$ /sec)	$K \cdot T$ (cm $^2$ )
A	B	5.42	50.4
B	A	5.77	50.0
C	B	6.48	67.9
D	"	6.71	66.8
E	"	5.53	45.4
F	"	8.00	116.0
G	"	6.26	44.0

これらの図から明らかなように、 $K \cdot T$  値を適切に選ぶことによって式 (7) と式 (13) から計算される碎石粒子群の堆積高さ分布は全般的に実験結果とよく一致しているといえる。ただし、CASE-F のように投入速度が大きくなるとマウンドの法先部で一致度が悪くなるが、これは投入速度が大きいと粒子群の沈降によって誘起される流れの影響が大きくなるためではないかと思われる。また、本論文中には示さなかったが、第 4~5 投目になるとマウンドの法面勾配が急になり、部分的に法

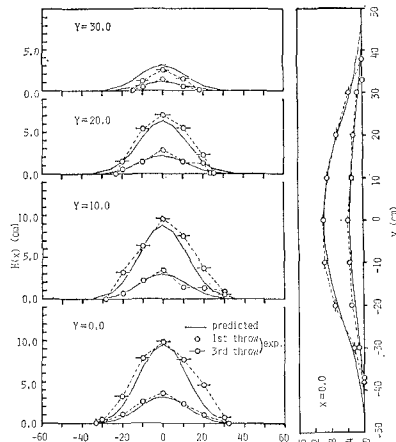
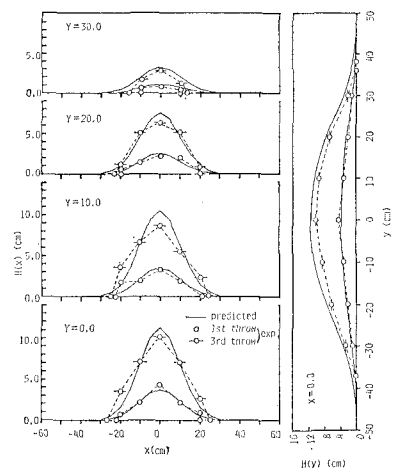
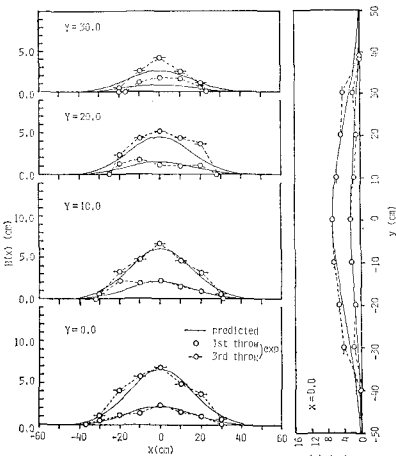
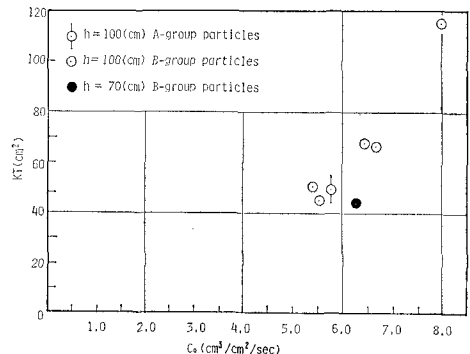
(a) CASE-A,  $K \cdot T = 50.4 \text{ (cm}^2\text{)}$ (b) CASE-C,  $K \cdot T = 67.9 \text{ (cm}^2\text{)}$ (c) CASE-F,  $K \cdot T = 116.0 \text{ (cm}^2\text{)}$ 

図-5 堆積高さ分布の計算値と実験値の比較

図-6 実験から得られた  $K \cdot T$  値と  $c_0$  の関係

面の滑落を生じるので、このような影響が考慮されていない本拡散モデルによる堆積高さの計算値は中央部で過大、裾部で過小な値を与える。

図-6は表-3に示した投入速度  $c_0$  と  $K \cdot T$  値の関係を表わしているが、 $K \cdot T$  値は  $c_0$  の増加と共に急激に増大する傾向を示している。 $h=70 \text{ cm}$  の場合の CASE-G は  $h=100 \text{ cm}$  の場合の 70% 程度の  $K \cdot T$  値を示しているが、粒子群の平均沈降速度が一定と仮定すると平均沈降時間  $T$  は水深に比例するので、この差は拡散係数  $K$  の値が水深にあまり関係しないことを示しているとも考えられる。また、データ数が少ないので明確なことは言えないが、A粒子群とB粒子群の  $K \cdot T$  値にはほとんど差がないように思われる。以上のことから、拡散係数  $K$  は主として  $c_0$  に依存し、粒子形状や水深にはあまり影響を受けないのではないかと思われる。

#### 4. 結 論

以上、本研究においては、底開式バージから静水中に投入された碎石粒子群の水底における堆積形状を予測する実用的な予測手法を見出すために、近似的な2次元拡散モデルを提案し、模型実験によってそのモデルの適用性を検討した。その結果、以下のような結論が得られた。

- (1) 本拡散モデルから予測される碎石粒子群の堆積高さ分布は拡散係数と平均沈降時間の積  $K \cdot T$  の値を適切に選べば実験結果とよく一致する。
- (2) 堆積高さが高くなると、マウンド法面から粒子が滑落するので、同一地点で4回～5回以上重複して投入する場合は本拡散モデルの適用性が悪くなる。
- (3) 実験結果から逆算される  $K \cdot T$  値は、主として投入速度  $c_0$  に支配され、 $c_0$  の増加と共に急激に大きくなる。
- (4) 粒子群の平均沈降速度が沈降過程において一定であると仮定すれば、拡散係数  $K$  の値は水深や粒子形状にあまり影響を受けず、主として  $c_0$  に依存することが

示唆される。

実験条件が限定され、データ数も少ないが、思い切った簡単化を図ったにもかかわらず、本拡散モデルの有効性は概ね確認できたと思われる。今後は、実験条件の範囲を拡げると共に、データ数を増やし、信頼性の高い拡散係数の値を求めることが必要であり、また、その実験値の相似性についても検討を要すると思われる。さらに、粒子群の平均沈降時間  $T$  の合理的な割り出し法を見出すことも課題である。

終りに、実験と資料解析に多大な苦労をおかけした、当時大阪市立大学工学部学生（現在京阪コンクリート株式会社勤務）白石芳明君に心から謝意を表する。

### 参考文献

- 1) Alger, G. R. and D. B. Simons: Fall velocity of irregular shaped particles, Jour. of Hydraulic Eng., ASCE, Vol. 9, pp. 721~732, 1968,
- 2) 高橋英俊・他: 捨石の水中落下速度について, 港湾技研資料, No. 249, 1976.
- 3) 小田一紀・角谷広樹・遠藤正男: 捨石群の沈降挙動(その1. 沈降碎石の抵抗係数), 土木学会関西支部年講概要集, 1982.
- 4) 角谷広樹・小田一紀・遠藤正男: 碎石粒子の沈降速度, 土木学会第37回年講概要集(2), 1982.
- 5) 筒内寛治: 砂および礫の水中落下の散らばりに関する研究, 土木学会論文集, 第69号, pp. 51~57, 1960
- 6) 筒内寛治: 砂の自由落下および波を受けるときの平面的な散らばりについて, 土木学会論文集, 第71号, 1960.
- 7) 吉川秀夫・福岡捷二・吉川勝秀: 流体と固体粒子の相互作用に関する研究, 土木学会論文報告集, 第260号, pp. 89~100, 1977.
- 8) 林 泰造: 流体中を沈降する粒子の乱流特性について, 第24回水理講演会論文集, pp. 7~12, 1989.
- 9) 河野二夫・藤田智康: 水中を落下する固体粒子の散らばりに関する研究, 第27回海岸工学講演会論文集, pp. 230~234, 1980.
- 10) 矢内栄二・大槻 忠: 水中落下土砂の拡がり幅への水深の影響について, 第30回海岸工学講演会論文集, pp. 613~616, 1983.
- 11) 堀口孝男・富田 勇・堀江 究: 三次元モデルによる流れと拡散の数値解法について(その1およびその2), 第24回海岸工学講演会論文集, pp. 447~451, 1977 および第25回海岸工学講演会論文集, pp. 508~512, 1978.
- 12) 堀口孝男・曾我部隆久・堀江 究: 三次元モデルによる流れと拡散の数値解法について(その3およびその4), 第26回海岸工学講演会論文集, pp. 600~604, 1979, および第27回海岸工学講演会論文集, pp. 458~462, 1980.
- 13) 小川 元・竹内益雄: 土捨船による投棄土砂の分散, 土木学会論文報告集, 第161号, pp. 39~49, 1969.
- 14) 桑野定美・他: 土捨船投下土砂の分散漂遊実験例, 農業土木学会論文集, 第47号, pp. 56~61, 1973.
- 15) 武藤碩夫・吉井総介・石田 勉: 大規模埋立用底開バージによる土砂投下の研究, 三菱重工技報, Vol. 11, No. 1, 1974.
- 16) 古野靖久・鎌田政雄: 捨石投入船の開発試験, 北海道開発局建機技報, Vol. 59, pp. 1~11, 1981.
- 17) 安濃 豊: 捨石投入船の模型実験, 北海道開発局建機技報, Vol. 14, No. 57, pp. 43~46, 1979.
- 18) 奥出 律・山谷弘幸・松本 茂: 底開式バージによる捨石マウンドの造成に関する実験, 港湾技術研究所報告, Vol. 21, No. 4, pp. 131~171, 1982.